

埼玉大学 工学部 正会員 佐藤 邦明
 " " " ○渡辺 錠夫
 " " 研究生 香取 実知

はじめに

最近、河口での水資源貯留を主目的とする河口ゼキの必要性が高まっているが、しかしこの河口ゼキにかかわる水工学的諸問題の中には、必ずしも十分解明されていないものもある。その一つに、河口ゼキゲート操作に関する下流河道、およびゲート付近地下地盤の塩水くさびの問題がある。このため今回筆者らは、従来あまり解析を行なわれていない地下地盤内の塩水くさびの挙動把握を中心に、モデル実験を行ない、二・三の理論解析とあわせ検討した。

1 基礎理論

河口ゼキとゲート付近の水理条件を、図-1のようにモデル化にて考える。ここに、 D は一様透水性地盤厚さ、 d はゲート開度、 S_1, S_2 は海水と淡水・塩水の密度、 h_1, h_2 はゲート上・下流の水位、 Δh は水位差、 q_1, q_2 は海水と河道内流量、浸透流量である。また塩水くさびに関して、 l_s をゲートより河道内塩水くさび先端までの距離(浸入距離)、 h_s をその厚さ、 l_g を地下塩水くさび始点距離とする。通常塩水くさび界面とは、分散・拡散が起るが、今回は考えないことにし、理論はゲート開度と l_s 、および地下塩水くさび形状について検討する。

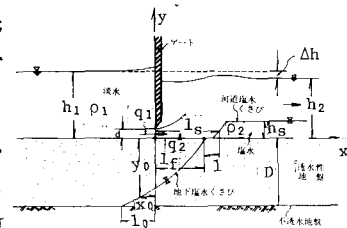


図-1 現象のモデル化

まず、河道内塩水くさびの浸入距離 l_s であるが、今図-2のようにくさびが斜状になると考へ、記号を図のようになると。くさびは、ゲート下流に形成される壁面噴流の運動量と関係を持ち、いま、河道内流量 q_1 は、浸透流量 q_2 に比べて大きく、 $q_2 \approx 0$ とおく。ここで、くさび前面に働く動水圧は静止塩水くさび水圧に等しいと考えれば、

$$\frac{p}{2} S_1 U^2 h_s = \frac{1}{2} S_2 g h_s^2 \quad \dots \dots \dots (1)$$

とがける。ここで B は係数であり、 U はくさび先端付近の代表流速である。

いま U を Albertson らの研究から、 α を定数として、

$$U \sim \alpha / \sqrt{l_s / d} \cdot D \quad \dots \dots \dots (2)$$

と仮定し、(1)式に代入し、またゲート上・下流の連続の関係を考へ、新しい係数をとすれば、

$$l_s / d = \beta \cdot S_1 / S_2 \cdot F_r^2, \quad F_r = g_1 / d \sqrt{g h_s} \quad \dots \dots \dots (3)$$

となる。ここで、 g_1 はゼキの流量を用いることができるはずれば、 β は α を実験的に F_r の関数形で決めておくことにより算定しよう。近似的なアプローチを行なうが、基礎的には壁面噴流の機構を十分明確にすることが必要である。

つぎに、地下塩水くさびの形状であるが、ここでは P.Y. Polubarnova-Kochina の非打込み矢板下地盤内塩水くさび解析を拡張し、写像解析により検討した。いま、図-3(a)のような物理面上に沿って、 AB に沿って u のボテンシャル $u = -\frac{\rho_1}{2} z + \Delta h$ 、 BC に沿って $u = \rho_2 / 2 z + \Delta h$ とし、くさび界面 $A'B'C'D'$ に沿って流速関数 $U = f(z)$ である。ここに、 ρ_1 は海水密度、 ρ_2 はゲート下水圧分布などに影響される定数である。ここで、写像

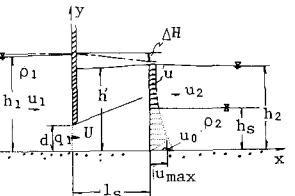


図-2 河道塩水くさびモデル

解析における(a)物理面、(b)U-U面、(c)d/dw面、(d)U面を結びつける関係は図-3のようであり、境界条件を考慮して積分定数を決めれば、界面形状は15<1となる。

$$\left. \begin{aligned} X_0 &= 2h/\pi \cdot \ln \{ 2(1+\zeta) \} \\ Y_0 &= 2h/\pi \cdot \sin^{-1}\zeta + h_1 \\ h_1 &= \varepsilon \Delta h/2 (\rho/\rho_s - 1) \end{aligned} \right\} \quad (4)$$

と入ることとなる。

2 実験方法

実験は図-4に示される実験装置を用いて行った。これは河道と地盤の模型(長さ96cm, 高さ35cm, 幅1cm)の両側に貯水部を持つ、この前面透明水路である。上・下流側貯水部の水位はオーバーフロー装置により一定に保たれ、下流部から塩水の代りに着色砂糖水(密度ほぼ1.03)を供給する。ゲート模型は厚さ1cmで45°のリッジを持ち、また塗水地盤はガラス球で作り、透水係数は2.4cm/sec、厚さは10cmである。実験条件はゲート開度を表-1のドットで変え、また各々につれて水位高を種々変えて行

った。さらに、同時に壁面噴流の性質をみるため、塩水くさびのなり場合の河道内流速分布を別の実験水路(長さ410cm, 高さ50cm, 幅10cm)を用い、プロペラ式流速計により測定した。

3 実験結果

まずゲート付近の流れの性質は、トレーサーにより図-5のように観測された。河道と塩水くさびはゲート下流側に生ずる内部噴流束に連行され、小さな速度で上流側に向かい、噴流束の上・下流で弱い環流が生じ、十分下流で一様流となる。また地盤内部ではゲート直下と図-1のa+a'に矢板を設けた場合の浸食流と同様な一对の環状流がみられる。

つぎに、理論式(3)における係数らはフルード数Frの関数になることが考えられるが、これを調べたのが図-6である。この図からFrはFrが増加するにつれ小さくなり、またあるフルード数Fr_c ≈ 0.32ごろで急変していくことがみられる。このFr_cは一連の実験から層流と乱流の遷移と思われ、Fr < Fr_c ではFr ≈ 13と読み取れる。さらに、式(4)の適合性があるが、これを検討するためにはまず係数を知ることが必要で、そのためあらかじめ図-7のようないくさび形状を実験的にもとめておき、それを図からとて求めた。そのようにして得られたとから理論形状をもとめ、実験と比較したもののが図-8である。この図からかなり良好一致が認められる。ただし△hが大きい場合にやや差が大きくなる、といふが、これは河道流量が大きくなりゲート付近の圧力分布が必ずしも簡単にならず、その算定に誤差が入るものと思われる。しかし、全体的な形状は良くあるので、こういふアプローチが使えるものと考える。

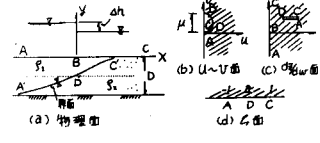


図-3 地下塩水くさびの写像解析

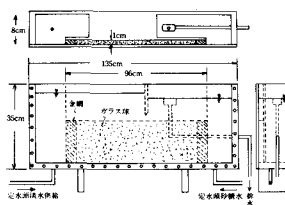


表-1 実験条件

実験番号	ゲート開度	実験数
EXP-1	—	—
2	—	—
3	0.07m	8
4	0.5	8
5	1.0	10
6	1.5	9
7	2.0	8
8	2.5	6
9	3.0	5
10	3.5	5
11	4.0	5
12	4.5	4

図-4 実験装置

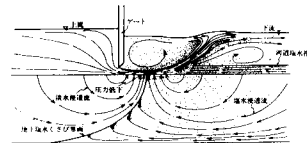


図-5 流れの性質

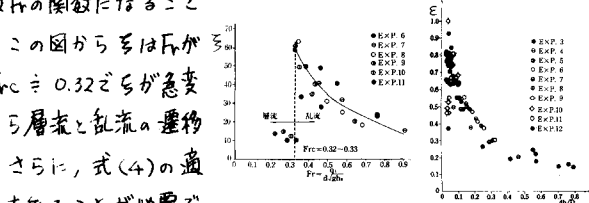


図-6 Fr vs Fr_c 関係 図-7 ε vs Fr_c 関係

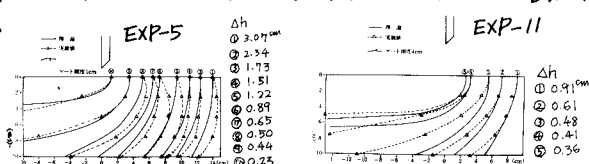


図-7 ε vs Fr_c 関係

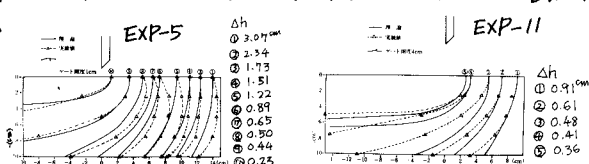


図-8 くさび形状の実験と理論との比較